



تقليل ملوثات عادم محرك اشعال بالضغط باستخدام مزيج дизيل - الايثانول

*مثنى طيف عبدالله¹، د. عبد الحسين حريجة²، د. مهند طيف عبد الله³

(1) مدرس، الجامعة التقنية الوسطى، معهد التكنولوجيا ، بغداد، العراق

(2) مدرس، الجامعة التقنية الوسطى، معهد التكنولوجيا ، بغداد، العراق

(3) رئيس مهندسين اقدم، وزارة العلوم والتكنولوجيا ، بغداد ، العراق

الخلاصة: اصبح الطلب على الوقود البديل من الأمور المهمة جدا بسبب تقلب اسعار النفط في العالم وكذلك للتقليل من كمية الغازات الملوثة للبيئة. تهدف هذه الدراسة الى معرفة تأثير نسب خليط дизيل - الايثانول على اداء محرك дизيل ونسب التلوث الناتجة منه. اجريت تجارب عملية لدراسة تأثير وقود дизيل / الايثانول بنسب متغيرة هي (5%, 8%, 10%). تم اجراء هذه التجارب عند قيم متغيرة لسرعة المحرك تراوحت بين (1100- 2600 rpm)، وقيم متغيرة للحمل المسلط على هذا المحرك (m) (2 - 10 N.m). تم قياس مواصفات اداء المحرك المختلفة وغازات العادم الاكثر ضررا على البيئة وهي اول اوكسيد الكاربون (CO)، والهيدروكاربونات الغير محترقة (HC)، واكسيد النيتروجين (NO_x). من خلال النتائج المستحصلة يلاحظ ان القدرتين البيانية والمكعبية واللثان تزدادان طرديا مع سرعة المحرك ينخفضان عند زيادة نسبة الايثانول في مزيج وقود дизيل والايثانول، وكذلك الحال مع الكفاءة الحرارية البيانية ودرجة حرارة اللدان ينخفضان مع زيادة هذه النسبة ولكن هذا الانخفاض يقلع عن الانحدار العايلي، بينما يلاحظ ان الاستهلاك التوعي الفرملي للوقود يزداد عند زيادة نسبة الايثانول في الخليط. كما وجد ان خليط дизيل - الايثانول يعطي قيم تاخر اشعال طويلة بسبب مقاومته العالية للاشتعال الذاتي مقارنة مع وقود дизيل الصافي، ولهذا فان الضغط الاقصى في الاسطوانة يقل عند استخدام خليط дизيل - الايثانول مقارنة بوقود дизيل الصافي لأن درجة حرارة احتراق الايثانول تكون ا浣نة، كما ان اضافة الايثانول الى дизيل ادى الى انخفاض في قيم اكسيد النيتروجين (NO_x) كذلك الحال مع قيم انبعاث اول اوكسيد الكاربون (CO) والهيدروكاربونات الغير محترقة (HC) الناتجة من احتراق هذا الخليط في محرك дизيل.

الكلمات الدالة: ملوثات العادم ،اداء المحرك، محرك ديزيل ، ايثانول مضارف

REDUCTION OF EMISSION EXHAUST GASES FOR COMPRESSION IGNITION ENGINE BY USING DIESEL – ETHANOL BLEND

Abstract: Demand for alternative fuel became very important things because of the volatility of oil prices in the world as well as to reduce the amount of polluting gases to the environment. This study aims to determine the impact of the diesel – ethanolblend on the performance of the diesel engine and the percentages of pollution resulting from it. The research were conducted experimentally to study the effect of variable rates of diesel - ethanol fuel (5%, 8%, 10%), at varying values of engine speed ranged between (1100 - 2600 r.p.m), and the values of a variable loads on this engine were (2 - 10 N.m), the different engine performance were measured and the most harmful gases exhaust to the environment that is a carbon monoxide (CO), non-burned hydrocarbon (HC) and nitrogen oxides (NO_x) were measured too. Through the obtained results showed that the indicated power and brake power are increasing directly proportional with the engine speed and decreasing with increasing the percentage of ethanol in the blend, as well as with the indicated thermal efficiency and exhaust gas temperature, but at high loads this increasing will be less, while increasing break specific fuel consumption when increasing the percentage of ethanol in the blend. It was found that diesel-ethanol blend gives delay long ignite values because of its high resistance to self-ignition compared with diesel fuel, so the maximum pressure in the cylinder

decreases when using diesel-ethanol blend compared to fuel diesel because the temperature of the combustion of ethanol is low, and adding ethanol to diesel led to a decrease in values of nitrogen oxides gas (NO_x) emissions as well as with the values of carbon monoxide (CO) and unburned hydrocarbons (HC) resulting from the combustion of the blend in the diesel engine.

1. المقدمة

الطاقة هي مفتاح التنمية الاقتصادية في جميع بلدان العالم، لذلك نرى أنه في السنوات الأخيرة تم اصدار عدد كبير من البحوث جاءت حول البحث عن مصادر بديلة للطاقة، خاصة بعد تقلبات أسعار النفط، وبالتالي محاولة الدول للحصول على الطاقة بشكل أمن ومتاح.

يتم استخراج وقود الديزل من تكرير خام البترول ويسمى أيضاً بزيت الوقود حيث يستخدم بكثرة في الصناعة، ويعتبر زيت الوقود أغلى ثمناً من المركبات المماثلة ذات الوزن الائل نظراً لعدم استخداماته ولهذا فهي محركات الديزل الكبيرة التي يمكنها إشعال مركبات وقود الديزل الثقيلة حيث تكون ذو سعر ارخص، ويتأثر اداء محرك الديزل بخصائص الوقود بدرجة ملحوظة ويتم قياس هذه الخصائص عادةً بواسطة تجارب عملية لمعرفة اداء المحرك المستخدم لهذا الوقود في حالات تحمل المحرك فعلياً ولكن هذه التجارب لا تغنى عن اختبار هذا المحرك أثناء سير المركبة في الشارع. لذلك فإن وقود الديزل يجب أن يحتوي على مجموعة مواصفات تجعل عملية الاحتراق بشكل ممتاز، وهذه المواصفات التي اقرت في الدول الأوروبية لرفع مستوى اداء محركات الديزل هي (Soholeh التشغيل البارد، ضوضاء منخفضة، استهلاك منخفض للوقود وابعاد عادم مخفض، تحمل المحرك)[1].

ان الاحتراق يمر بمراحل وهذه المراحل تأخذ فترة زمنية حيث يسخن الوقود فيتبخر ثم يمتزج مع الهواء ثم يحترق، وتسمى الفترة ما بين حقن الوقود (Ignition delay) . ان الاحتراق هو عملية تفاعل بين الوقود الهيدروكربوني واوكسجين الهواء عند درجة حرارة معينة (درجة حرارة الاشتعال الذاتي للوقود). ان المشكلة الرئيسية هي عند زيادة سرعة المحرك حيث يجب ان تكون هذه الفترة قصيرة جداً لتحقيق كفاءة احتراق عالية.

تمر عملية الاحتراق في محركات الديزل باربع مراحل: الاولى تسمى بمرحلة تاخر الاشعال (Ignition delay) وفيها يتم رش الوقود ليكون جاهزاً للاحتراق ويبدأ الاحتراق في مناطق متفرقة من غرفة الاحتراق، والمرحلة الثانية يبدأ عنها الضغط بالازدياد لتكون مرحلة الاحتراق السريع وهو الاحتراق الغير مسيطر عليه (Combustion rapid) ، ثم يبدأ بعدها الاحتراق المسيطر عليه (Controlled combustion) وهي المرحلة الثالثة حيث يكون الوقود قد انقطع نهائياً من الرشاش، ويمكن ان يستمر رش الوقود بعد نزول المكبس من النقطة الميتة العليا الى النقطة الميتة السفلية واستمرار احتراق الوقود وهو ما يسمى بالمرحلة النهائية او مرحلة مابعد الاحتراق وهو أمر غير مرغوب به كون الطاقة الناتجة من هذا الاحتراق سيتم توزيعها على جدران الاسطوانة ومنها الى منظومتي التبريد والتزييت الملحقة بالمحرك.

ان المرحلة الاولى تحدد هدوء اشتغال المحرك والتي تتأثر كثيراً بفترة تاخر الاشعال، والعوامل المؤثرة على فترة تأخر الاشعال هي: درجة حرارة الهواء، الضغط، تذرية الوقود، وقت اوتوفيت الحقن ، سرعة المحرك ونوع الوقود.

اما المرحلة الثانية فتعتمد على الفترة الاولى حيث الاحتراق الغير مسيطر عليه حيث يكون هناك فقدان السيطرة بنسبة 10% واحتمالية حدوث الطرق (knock)، كلما طالت فترة تأخر الاشتعال زادت كمية الوقود المتذبذب بحيث يحدث انفجار فجائي للوقود. اما الفترة الثالثة فان الاحتراق المسيطر عليه يعتمد على مدى ارتفاع الضغط المصمم عليه المحرك ويعتمد على كفاءة الحقن والحقن وعلى كمية الهواء والدوامات المتولدة.

واما الاحتراق النهائي وهو المرحلة الرابعة وهو الذي يحدث في نهاية شوط القدرة واثناء نزول المكبس فيعتبر من سلبيات الاحتراق في محركات الديزل وسيبه الرئيسي هو زيادة الهواء بكميات اكبر من المطلوب وكذلك زيادة الحركة الدوامية وكلها تؤدي الى تقليل عمر المحرك (العمر الافتراضي)[2].

(Nadir Yilmaz 2012)[3] أجرى مقارنة بين وقود الديزل القياسي ووقود الديزل الحيوي، حيث استخدم هذه النسب: (45٪) الميثanol (10٪) الديزل (45٪)، وقود الديزل الحيوي (40٪) الميثanol (20٪) الديزل (40٪)، وقود الديزل الحيوي (45٪) الإيثانول (10٪) الديزل (45٪)، واخيراً وقود الديزل الحيوي (40٪) الإيثانول

(%) 20) الديزل (40%) يمزج تحت نفس ظروف التشغيل لمحرك اشعال بالضغط . لقد أوضحت المقارنة ان انبعاثات اول اوكسيد الكربون CO و HC تزداد بزيادة تركيز الكحول في الخليط بينما تنخفض انبعاثات NO_x ، كما لوحظ ان مزج الميثانول مع وقود الديزل يكون أكثر فاعلية من مزج الإيثانول مع وقود الديزل في الحد من انبعاثات اول اوكسيد الكربون CO والهيدروكربونات الغير محترقة HC، بينما يقل انبعاث اوكسيد التتروجين NO عند اضافة الإيثانول.

(OMMI Fathollah et. al. 2009)^[4] درسوا تجريبياً أداء انواع جديدة من خلطات الوقود في محرك ديزل نوع MB-OM 457 LA في مرحلتي السرعة البطيئة وبعد قطع الوقود. نفذت عدة خلطات من الوقود حيث يمزج وقود الديزل مع الإيثانول المضاف بنسبة (5,7.5,10%) (حجم / حجم) مبتدئاً من وقود الديزل الصافي. وتحسين العدد السيتاني لخلط الوقود وهي خاصية الوقود التي تعبر عن امكانية الاشتعال الذاتي لوقود الديزل في الوقت الصحيح من دورة المحرك(تم اضافة: (nitro ethan) NE، NM(nitro methan) و Methoxy ethyl ether) MXEE . وأظهرت النتائج أن الكثافة، العدد السيتاني، اللزوجة الكينماتيكية ونقطة الوميض انخفضت بزيادة نسبة الإيثانول في مزيج الوقود. كما تم العثور على انبعاثات أكسيد التتروجين، أول اوكسيد الكربون CO و HC الناتجة من وقود الديزل / الإيثانول تختلف عن انبعاثات الديزل التقليدي.

(Bang-Quan He et. al. 2003)^[5] أبتكر واخليط جديد (يمزج الخليط مع 10% و 30% من الإيثانول من حيث الحجم) لتحسين الاشتعال وتعزيز العدد السيتاني للوقود. تم اجراء التجارب في الأحمال العالية، لمعرفة خصائص الانبعاثات من خمس انواع من الوقود في محركات الديزل. تم دراسة تأثير الإيثانول المخلوط مع وقود الديزل على الانبعاثات المنظمة مثل الدخان، THC، CO، أكسيد النيتروجين، وجرى تقييم الانبعاثات غير المنظمة بما في ذلك CO₂ ودرجة حرارة التقطير على محرك الديزل. وتشير النتائج إلى إمكانية الحصول على احتراق نظيف في محركات الديزل.

(Alan C. Hansen et. al. 2005)^[6] خصائص ومواصفات الإيثانول المخلوطة مع وقود الديزل مثل الاستقرار، واللزوجة والسلامة وتوافق المواد. وخلص الباحثون الى ان خصائص مزيج الإيثانول مع وقود الديزل يكون لها تأثير كبير على سلامة، أداء المحرك، قوة التحمل، والانبعاثات الناتجة من المحرك.

(Rashi Koul 2015)^[7] أجري تجارب على محرك الديزل ذو الاسطوانة الواحدة باستخدام مزيج من أوكتانول 1-1 والديزل لدراسة مميزات الأداء. كان حجم الأوكتانول - 1 بنسبة 5٪، 10٪، 15٪ و 20٪ في الديزل المعدنية. وأظهرت النتائج التجريبية زيادة الكفاءة الحرارية الفرمولية والحد من استهلاك الوقود الفرامل وزيادة درجة حرارة العادم.

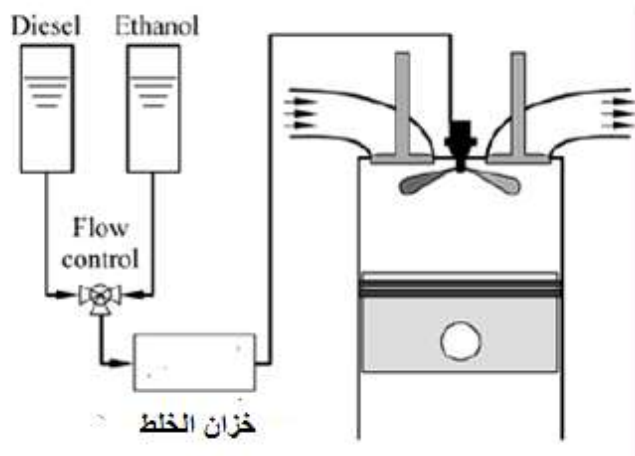
(Krzysztof Gorski& Ruslans Smigins 2011)^[8] أجريا التجارب باستخدام ثلاثة أنواع من الوقود: وقود الديزل كوقود أساسي، 30٪ من الإيثانول مزج مع 70٪ وقود الديزل الحيوي و30٪ الايثانول بوتيل مزج مع 70٪ وقود الديزل الحيوي. أجريت هذه التجارب باستخدام الحقن المباشر لمحرك الديزل AD3.152 الموجود في مختبرات قسم استثمار المركبات التقني في الجامعة التقنية في ردومن. وخلصوا إلى أن انخفاض العدد السيتاني قد يزيد من تأخير الاشتعال ومن ثم الاحتراق. من ناحية أخرى، كان لقليل الشد السطحي واللزوجة ل الوقود المؤكسد تأثير أفضل لانحلال الوقود والتبخّر. ولكن تقليل لزوجة الوقود يؤدي إلى زيادة التسرب من مضخة الوقود والحقن، وبالتالي يقلل من كمية الوقود التي يتم تسليمها إلى المحرك.

في هذا البحث تم اختبار تأثير مزيج وقود الديزل / الإيثانول بنسب مختلفة (0,5,8,10%) على معاملات اداء محرك اشعال بالضغط احادي الاسطوانة وكذلك تأثيره على الغازات (CO, HC, NO_x) الخارجة من هذا المحرك نتيجة استخدام هذه الخلائط وتمت هذه الاختبارات عند سرع مختلفة للمحرك تراوحت ما بين (– 1100 2600 rpm) عند احمال مختلفة.

2. الجانب العملي

أولاً وقبل كل شيء، تم اجراء التجارب على وقود الديزل التقليدي حيث تم ملأ خزان الوقود لمحرك(TD212) بهذا الوقود وتم تشغيله والانتظار حتى وصل المحرك إلى درجة حرارة التشغيل الطبيعية. وخلال التجربة تم تغيير الحمل وسرع المحرك لكل نسب الإيثانول المعتمدة في هذه الدراسة والمخلوطة مع وقود الديزل التقليدي حيث تم خلط الإيثانول مع وقود الديزل خارجياً بواسطة خزان خارجي كما في الشكل (1) مع استمرار تدوير الخليط لمنع

تحلله الى جزئه الرئيسيين الاصليين، وذلك لمعرفة تأثيره على اداء محرك дизيل ونسبة احادي اوكسيد الكاربون، واسايد النتروجين والهيدروكربونات الغير محترقة الناتجة مع العادم، مع سرعة المحرك وبوحدات دورة في الدقيقة. ولحساب الاستهلاك النوعي المكثي للوقود في ظل ظروف مختلفة تم حساب الوقت اللازم لاستهلاك (8) مل من الوقود من قبل المحرك. كما تم حساب القردة الفرمولية والبيانية لمحرك، الاستهلاك النوعي الفرمولي للوقود والكفاءة الحرارية البيانية والفرمولية. يوضح الجدول (1) خواص وقود дизيل والايثانول المستخدم في هذه الاختبارات حسب وثيقة الاختبار المقدمة من قبل لجنة الفحص في مصفى الدورة / بغداد.



الشكل(1): يوضح عملية خلط وقود الديزل مع الأيثانول

الجدول (1): نتائج الفحوصات لوقود الدiesel ووقود الايثانول

الايثanol	الديزل	نوع الاختبار
C_2H_5OH	$C_{14}H_{28}$	العلاقة الكيميائية
0.79	0.8362	الوزن النوعي عند درجة حرارة $0^{\circ}C$
13	83.2	نقطة الوميض $0^{\circ}C$
-117.3	-14	نقطة الانسحاب $0^{\circ}C$
1.2	3.4	اللزوجة عند درجة حرارة $0^{\circ}C$ ($10^{-6} m^2/s$)
8	56.5	العدد السينتاني

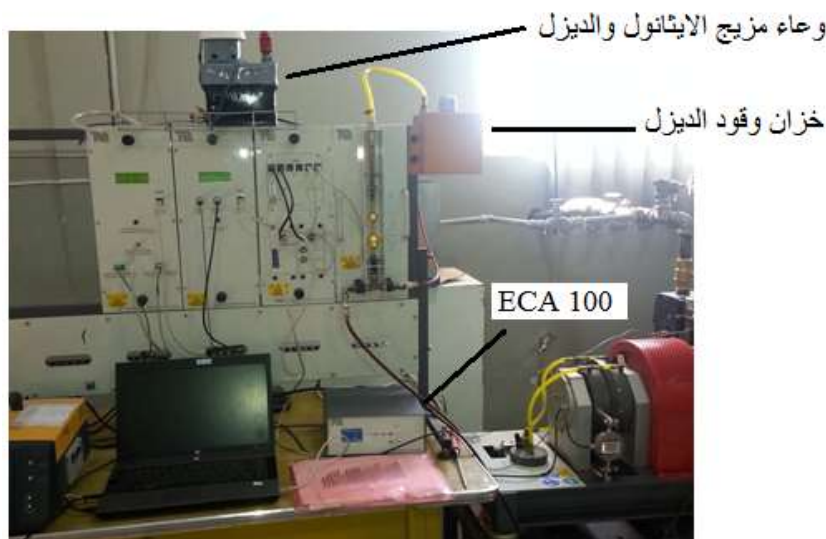
ان مواصفات المحرك الذي تم اجراء التجارب عليه هو محرك ديزل صغير اي ذو اشعال بالضغط (شكل 2) حيث مصنوع من قبل شركة (UK – Tequipment)، ذو حقن مباشر وسحب طبيعي، رباعي الأشواط احادي الاسطوانة ذو تبريد هوائي (الجدول رقم 2). تم تثبيت مزدوج حراري في انوب عالم المحرك لقياس درجة حرارة العائم، وجهاز ديناموميتر مرتبط مع المحرك بوصلة مطاطية والغرض من الداينوميتر هو قياس القدرة الفرملية. وهذا المحرك موجود في مختبر محركات الاحتراق التابع لورشة السيارات في معهد التكنولوجيا/ بغداد، وهو موصول مع نظام للحصول على البيانات الناتجة من المحرك رقميا، وهذا النظام قادر على تخزين البيانات الناتجة من التجارب انيا كما هو مبين في الشكل (3) حيث يقدم تسهيلات لإجراء اختبارات أداء المحرك خلال سرعات المحرك المختلفة (rpm 2600 – 1100) ويتصل هذا المحرك بنوع من الديناموميتات وهو النوع الهيدروليكي لغرض تسلیط الحمل على المحرك. ويتم اظهار هذه الاشارات رقميا في جهاز الكمبيوتر الملحق بالمنظومة، وهذه القيم تعود الى قيم الاستهلاك النوعي البياني للوقود، القدرة البيانية، ومتوسط الضغط البياني والاحمال التي يمكن الحصول عليها بواسطة الجهاز (ECA100) كما موضح بالشكل (3).



الشكل (2) : يوضح المحرك المستخدم مع الداينو ميتر الهيدروليكي

الجدول (2) : مواصفات المحرك المستخدم والمزودة من قبل شركة (TQ) البريطانية

نوع المحرك	TD212,UK
نوع الوقود	الديزل
القدرة القصوى	3.5 kW عند 3600 rev/min
العزم الأقصى	16 N.m عند 3600 rev/min
سعة المحرك (الازاحة)	232 cm ³
نسبة الانضغاط	22:1
قطر المكبس	69 mm
طول الشوط	62 mm
السرعة القصوى	3600 rev/ min



الشكل (3) : يوضح الجهاز المستخدم واجهزه القياس

وكان نسبه الانضغاط ذو قيمة ثابته وهي ($R = 22:1$)، وقيم عزم دوران المحرك تتغير من (- 0 10N.m عاليه وضغط عالي. ويتم تحليل الإشارات التي تحصل عليها هذه المجرسات عند تشغيل المحرك باختلاف عزم المحرك العادي لتوصيف وتحديد المعلومات الأساسية لمحرك الديزل. كما يتم قياس ضغط الاسطوانة باستخدام محول الضغط وتحويلها الى قيم دقيقة ولكل درجة من درجات دوران العمود المرافق بواسطة الجهاز (ECA100) كما هو مبين في الشكل (3) (4) حيث يظهر لنا ومن خلال هذاالجهاز (ECA100) جدول لقيم الضغط والحجم عند كل درجة من درجات العمود المرافق بالإضافة الى قيم القدرة البيانية ومتوسط الضغط الفعال البياني عند كل سرعة

وحمل للmotor. يقع عنصر الاستشعار في حفرة في رأس الاسطوانة في غرفة الاحتراق. يتكون عنصر الاستشعار من حجاب معدني ينحرف تحت الضغط، ومتصلة بواسطة الألياف البصرية إلى مصدر ضوء وكاشف. يتم عكس شدة الضوء المنعكس إلى الجهد الذي يتناسب مع الضغوط.



الشكل(4) : يوضح اجهزة القياس وحساسات الاستشعار المستخدمة

اما فيما يتعلق بقياس كمية انبعاثات غازات العادم فتم بواسطة جهاز تحليل غازات العادم شكل (5) وهو جهاز ايطالي الصنع حديث مصنوع من قبل شركة (TEXA) يتم توصيل المعلومات عن طريق البلوتوث ولمسافة (5m) عن المركبة المراد تحليل غازات العادم له ، وهذا الجهاز يقوم بتحليل غازات العادم لمحركات дизيل والبنزين عند مختلف الظروف . وتنتقل المعلومات الواردة من بصلة سحب الغازات للجهاز والموضوعة في انبوب العادم للمركبة وتصل هذه البيانات الى جهاز التحليل ومنه الى شاشة الحاسوب عن طريق البلوتوث، وبامكان مشغل جهاز التحليل التحرك بحرية بعيدا عن المركبة دون الحاجة للبقاء قريبا منها حفاظا على سلامته من التلوث، كما يمكن ان تبقى المركبة خارج الوسعة واستلام البيانات والمشغل داخل المكتب حيث يمكن مطالعة النتائج على شاشة الحاسوب ومن ثم يمكن طباعتها ورقيا.



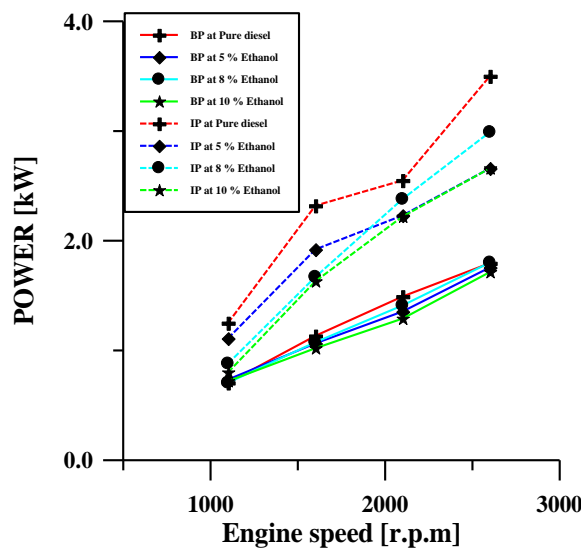
الشكل (5) : يوضح جهاز تحليل غازات العادم

3. النتائج والمناقشة

1.3. تأثير محتوى الإيثanol على قدرة المحرك

يبين الشكل (6) تغير قدرة المحرك مع سرعته يتم الحصول على اقصى قدرة للمotor عند سرعة (2600 rpm) عند استخدام وقود الدیزل الصافی. وعند استخدام مزيج وقود الدیزل الصافی مع الإيثانول بالنسبة المعتمدة يظهر المنحني زيادة بسيطة في قدرة المحرك الفرمليه والبيانية مع زيادة سرعة المحرك، ويرجع ذلك إلى الأداء العالي مع انخفاض الحرارة المنتقلة من اسطوانة المحرك عند السرعات العالية. وتقل قدرة المحرك كلما زادت نسبة الإيثانول المضاف لوقود الدیزل نتيجة لانخفاض محتوى الطاقة في مزيج الوقود. كما تبين من هذا المنحني أن وقود الدیزل النقي دائمًا أعلى قدرة بالمقارنة مع مزيج الدیزل والإيثانول، ولمختلف نسب مزيج الدیzel والإيثانول فان هناك انخفاض في قدرة المحرك البيانات والفرمليه بالمقارنة مع استخدام وقود الدیzel الصافی فمثلاً كان

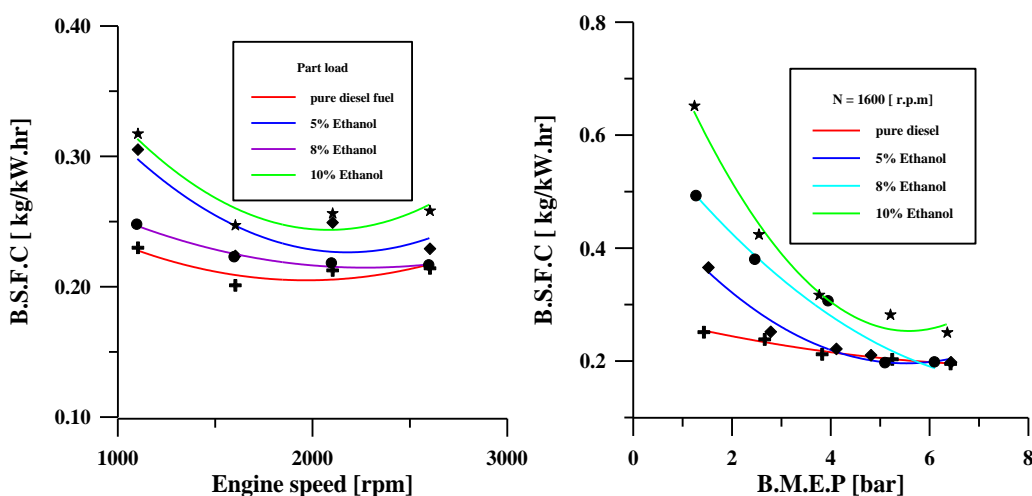
الانخفاض في القدرة البينية هي (5.8,10%) عند النسب (6.7,38.5,42.48%) على التوالي عند الاحمال الواطئة والمتوسطة، كما يتضح من الشكل ان المزيج (8%) كان اقل انخفاضا بالقدرة من باقي النسب مقارنة باستخدام وقود الديزل الصافي عند الاحمال العالية^[9].



الشكل (6) : يوضح تأثير سرعة المحرك على القدرة البينية والفرملي عند نسب خلط مختلفة

2.2. تأثير محتوى الإيثانول على الاستهلاك النوعي الفرملي للوقود BSFC

يظهر التغير في الاستهلاك النوعي الفرملي للوقود عند سرع مختلفة للمحرك كما في الشكل (7). يتناسب الاستهلاك النوعي الفرملي للوقود مع كثافة الوقود المستهلكة وكذلك مع قدرة المحرك الفرملي. حيث يزداد الاستهلاك النوعي الفرملي للوقود بزيادة نسبة الأيثانول / وقود الديزل بالمقارنة مع قيمته عند استخدام الوقود الصافي، ويرجع ذلك إلى ان محتوى الطاقة يكون أقل في مزيج وقود الديزل مع الإيثانول. تقل قيمة BSFC مع زيادة عن سرعة المحرك ثم تزداد بعد وصول المحرك إلى سرعة (2400 rpm) بسبب انخفاض الكفاءة الحجمية للمحرك بعد تلك السرعة وزيادة القدرة الضائعة في الاحتياك. وكانت نسب الزيادة في الاستهلاك النوعي الفرملي للوقود هي (17.23, 2.3, 20.5 %) على التوالي مقارنة بوقود الديزل الصافي.



الشكل (8) : يوضح تأثير الحمل على الاستهلاك النوعي الفرملي للوقود عند نسب خلط مختلفة

الشكل (7) : يوضح تأثير سرعة المحرك على الاستهلاك النوعي الفرملي للوقود عند نسب خلط مختلفة

الشكل (8) يبين سلوك BSFC لنسب خلط مختلفة عند احمال مختلفة وسرعة المحرك (1600 rpm). ومن الواضح أن قيمة BSFC تتنخفض مع زيادة الحمل ولكنه يزداد قليلاً بعدما يصل الحمل إلى (75%) عند نسبة خليط E10%. وبشكل عام فإن قيمة BSFC تزداد مع زيادة محتوى الإيثanol في مزيج дизيل والإيثanol. ويرجع ذلك إلى القيمة الحرارية المنخفضة للإيثanol وهي حوالي 3/2 مما في وقود дизيل وكذلك الاحتراق الغير تام نتيجة زيادة تأخر الاشعال في مزيج وقود дизيل وبالتالي صعوبة الأشتعال^[3].

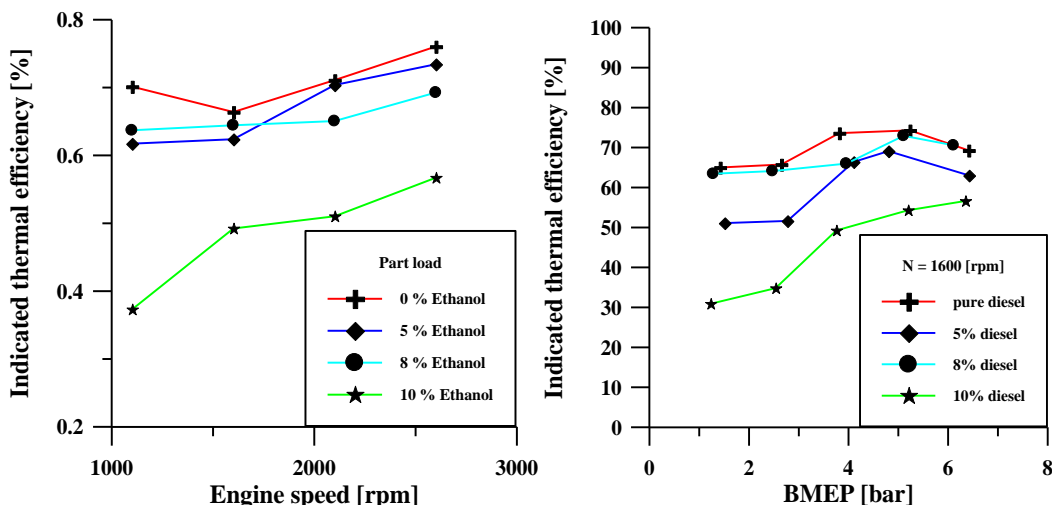
3.3. تأثير محتوى الإيثanol على الكفاءة الحرارية البيانية

يبين الشكل (9) النتائج العملية للكفاءة الحرارية البيانية للمحرك (التي تعبر عن امكانيه استغلال المحرك للطاقة الداخلة مع الوقود وتحويلها إلى قدرة بيانية) والتي يمكن ان تحسـب من ISFC، والقيمة الحرارية الدنيا للوقود. ومن هذا الشكل يمكن رؤية تحسن الكفاءة الحرارية ولجميع ظروف تجهيز المحرك بوقود الإيثanol - дизيل (اي مع زيادة الحمل تزداد جميع المنحنيات الممثلة حالة استخدام وقود ديزل صافي وحالات نسب خليط дизيل / الإيثanol)، كما يظهر من الشكل نفسه ان الكفاءة الحرارية البيانية للمحرك تزداد وتتحسن أكثر مع نقصان محتوى الإيثanol في مزيج الوقود عند نفس ظروف التشغيل.

ويظهر التغير في الكفاءة الحرارية البيانية عند سرعات مختلفة كما في الشكل(10) نتيجة لقيمة ISFC المنخفضة في وقود дизيل التقليدي الصافي، فان الكفاءة الحرارية البيانية تكون أعلى مما في وقود дизيل المخلوط مع الإيثanol، وتتنخفض قيمة الكفاءة الحرارية البيانية عند زيادة نسبة الإيثanol في المزيج. ويمكن أن يعزى ذلك إلى قلة محتوى الطاقة في مختلف نسب مزيج الوقود.

كانت نسب الانخفاض في الكفاءة الحرارية البيانية هي (%) (1.23, 9.3, 39.5, 10 %) عند النسب (5, 8, 10 %) على التوالي مقارنة بوقود дизيل الصافي. ويمكن ذلك بتحسين نوعية الرش مع مزيج الوقود حيث ان نقطة غليان الإيثanol هو أقل مما في وقود дизيل. ان الاحتراق هو أكثر اكمالاً في المنطقة الغنية بالوقود بسبب أوكسجين الإيثanol، بحيث يتم تعزيز كفاءة الاحتراق.

انخفاض الخسائر الحرارية في الاسطوانة بسبب انخفاض درجة حرارة اللهب من الإيثanol أقل مما هو في وقود дизيل^[9].



الشكل (10) : يوضح تأثير سرعة المحرك على الكفاءة الحرارية البيانية للمحرك عند نسب خلط مختلفة

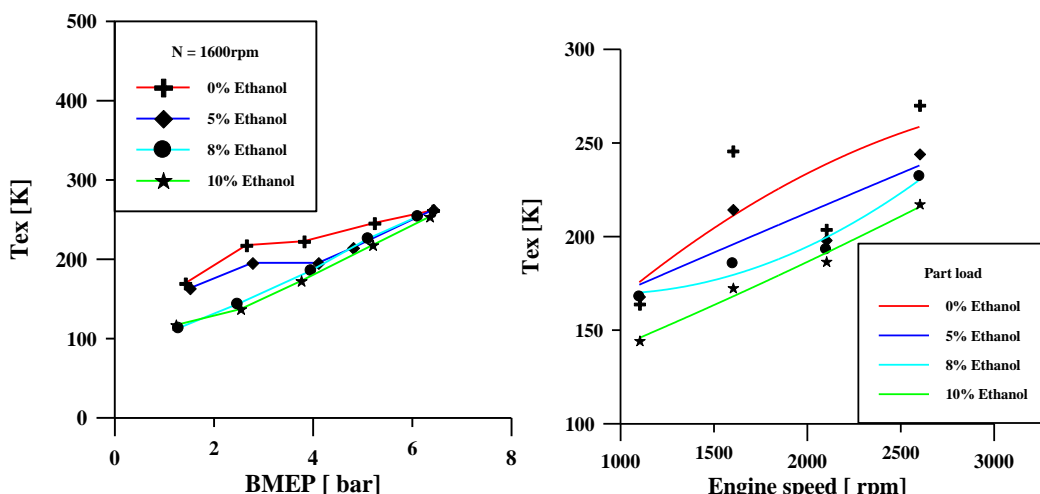
الشكل (9) : يوضح تأثير الحمل على الكفاءة الحرارية البيانية للمحرك عند نسب خلط مختلفة

4.3. تأثير محتوى الإيثanol في درجة حرارة الغاز العادم

العلاقة بين حمل المحرك ودرجة حرارة الغاز العادم لمحرك ديزيل عند استخدام وقود дизيل التقليدي وكذلك عند استخدام نسب مختلفة من خليط дизيل / الإيثanol موضحة بالشكل (11).

من هذا الشكل يمكن استنتاج انه عند زيادة حمل المحرك فان درجة حرارة الغاز العادم سوف تزداد. ان اقصى قيمة لدرجة حرارة العادم وصلت الى (261.71°C) عند استخدام وقود الديزل النقي لوحده وعند حمل (10 N.m)، ويعود السبب الى ارتفاع درجة الاحتراق عند زيادة الحمل وبالتالي ستزداد درجة حرارة العادم حتما.

كما يبين الشكل ان درجة حرارة العادم تقل كلما زادت نسبة الأيثanol في الخليط والسبب يعود الى ان الأيثanol مؤكسد جزئياً ويساهم في اطالة فترة تاخر الاشتعال وانخفاض درجة حرارة الاحتراق ونتيجة حتمية ستتحسن درجة حرارة الغاز العادم عند استخدام خليط وقود الديزل / الأيثanol وهذا ما يوضحه الشكل (12). وكانت نسب الانخفاض في درجة حرارة العادم هي (5.23, 5.5, 9.5 %) عند النسب (5, 8, 10 %) على التوالي مقارنة بوقود الديزل الصافي [9].



الشكل (12): يوضح تأثير سرعة المحرك على درجة حرارة العادم

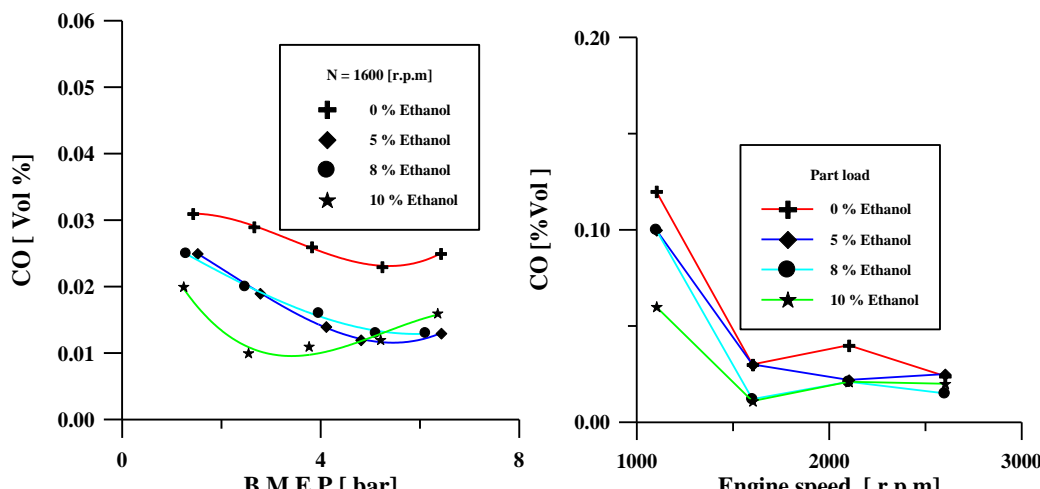
الشكل (11): يوضح تأثير الحمل على درجة حرارة العادم

5. تأثير محتوى الإيثanol في انبعاثات المحرك

1.5.3. انبعاثات أول أكسيد الكربون (CO)

ان انبعاثات غاز (CO) السام والناتجة من محرك الديزل عندما تتغير السرعة (800 – 2600 rpm) عند حمل ثابت تم توضيحيها في الشكل (13)، متوسط الانخفاض في انبعاثات أول أكسيد الكربون (CO) بالمقارنة مع وقود الديزل التقليدي النقي عند الأحمال المتوسطة هي (81.66%, 90.5%, 90.5%) عند (E5%, E8%, E10%) على التوالي. عند اختلاف انبعاثات المحرك، فإن نسبة الأوكسجين / الوقود هو عامل مهم، ونظرًا لمحتوى الأوكسجين الموجود في الإيثanol، سيتم تحول أول أكسيد الكربون (CO) إلى (CO₂) بكميات أعلى بالمقارنة مع وقود الديزل التقليدي الصافي، وبالتالي فإن انبعاثات أول أكسيد الكربون تبقى عالية بالمقارنة مع مزيج وقود الديزل والإيثanol. عند زيادة سرعة المحرك فإن عملية الاحتراق تزداد كفاءة وعليه سوف تقل انبعاثات أول أكسيد الكربون عند جميع الظروف التشغيلية. الشكل (13) يوضح الانخفاض في انبعاثات (CO) الناتجة من احتراق مزيج وقود الإيثanol - الديزل بالمقارنة مع ما ينتج من احتراق وقود الديزل الصافي.

ان انبعاثات غاز أول أكسيد الكربون عند الأحمال المختلفة وتحت مدى لسرعة المحرك موضحة في الشكل (14). حيث تقل انبعاثات أول أكسيد الكربون عند الأحمال المنخفضة والمتوسطة، اما عند الأحمال العالية وضمن مدى سرعة المحرك، فإن انبعاثات CO ارتفعت بشكل كبير مع زيادة الحمل ل الخليط وقود الإيثanol - الديزل، فعند أقصى حمل، انخفضت انبعاثات CO بنسبة (92.5%, 92.5%, 56.25%) عند (E5%, E8%, E10%) على التوالي مقارنة بوقود الديزل الصافي [9].

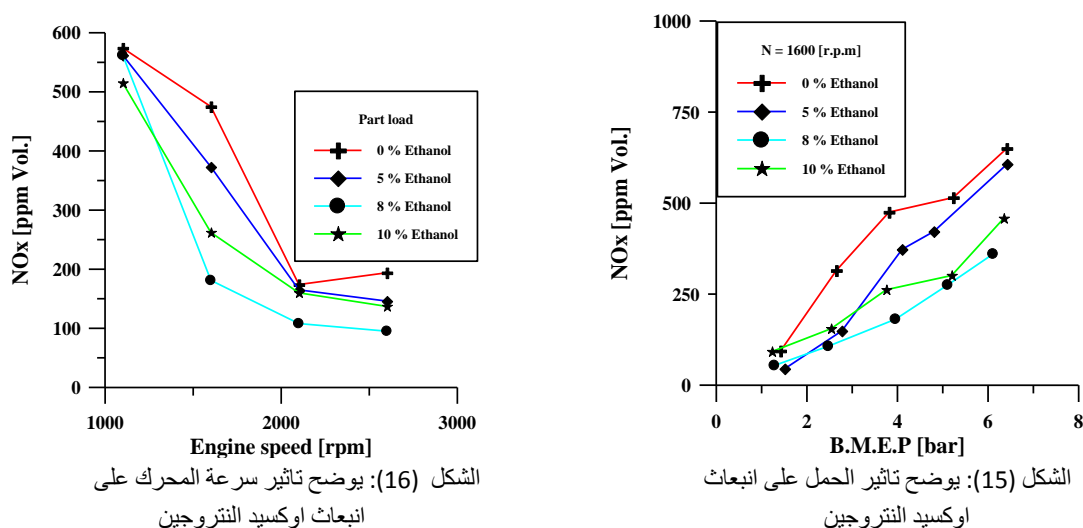


الشكل(14): يوضح تأثير الحمل على انبعاث اول اوكسيد الكاربون

الشكل(13) : يوضح تأثير سرعة المحرك على انبعاث اول اوكسيد الكاربون

2.5.3. انبعاث أكاسيد النيتروجين (NO_x)

انبعاثات أكاسيد النيتروجين الناتجة من احتراق مزيج وقود الديزل / الأيثanol وبنسب مختلفة وكذلك من احتراق وقود الديزل النقي تحت ظروف تشغيل مختلفة موضحة في الشكل (15). حيث يتناقص الانبعاث الناتج من احتراق مزيج الوقود مع نسبة الإيثanol وعند نفس الأحمال. الانخفاض في أكاسيد النيتروجين (NO_x) عند الأحمال العالية يكون واضح. عند النسبة (E10%) ارتفعت انبعاثات أكاسيد النيتروجين أكثر منها عند النسبة (E8%) في ظروف التشغيل المختلفة وقد يعود السبب إلى درجة حرارة التبخر العالية للأيثanol مما يؤدي إلى تقليل درجة حرارة اللهب العظمى وبالتالي نقصان في كمية انبعاث اوكسيد النيتروجين خاصة عند الاحمال الواطئة. أما عند الاحمال العالية وللتقليل انبعاث (NO_x) ينصح باستخدام تقنية (EGR) أو تأخير الشرارة. تكون انبعاثات أكاسيد النيتروجين (NO_x) من محرك الديزل هو الشاغل الرئيسي، حيث يوضح الشكل (15) انبعاثات أكاسيد النيتروجين الناتج من استخدام الوقود بنوعيه الديزل الصافي وكذلك مزيج الديزل / الأيثanol، حيث تكون انبعاثات أكاسيد النيتروجين (NO_x) الناتجة من استخدام مزيج الوقود أقل قليلاً مما لو استخدم وقود الديزل الصافي، أما عند المزيج بالنسبة (5% و 10% من الإيثanol) كانت انبعاثات (NO_x) أعلى مما لو استخدم مزيج الوقود بنسبة 8% حيث كانت الانبعاثات أقل من باقي نسب المزيج. وكما هو موضح سابقاً، فإن تكون غاز أكاسيد النيتروجين (NO_x) في عملية الاحتراق يكون معقد جداً، عموماً، فإن توقيت الاحتراق المتقدم يمكن أن يؤدي إلى ارتفاع درجة حرارة الاحتراق وبالتالي ارتفاع انبعاثات أكاسيد النيتروجين. ولذلك، فإن انبعاثات أكاسيد النيتروجين الناتجة من هذا الاختبار قد انخفضت مع زيادة سرعة المحرك كما في الشكل (16)، ويمكن أن تتأثر بالوقت المتاح للتكون [9].

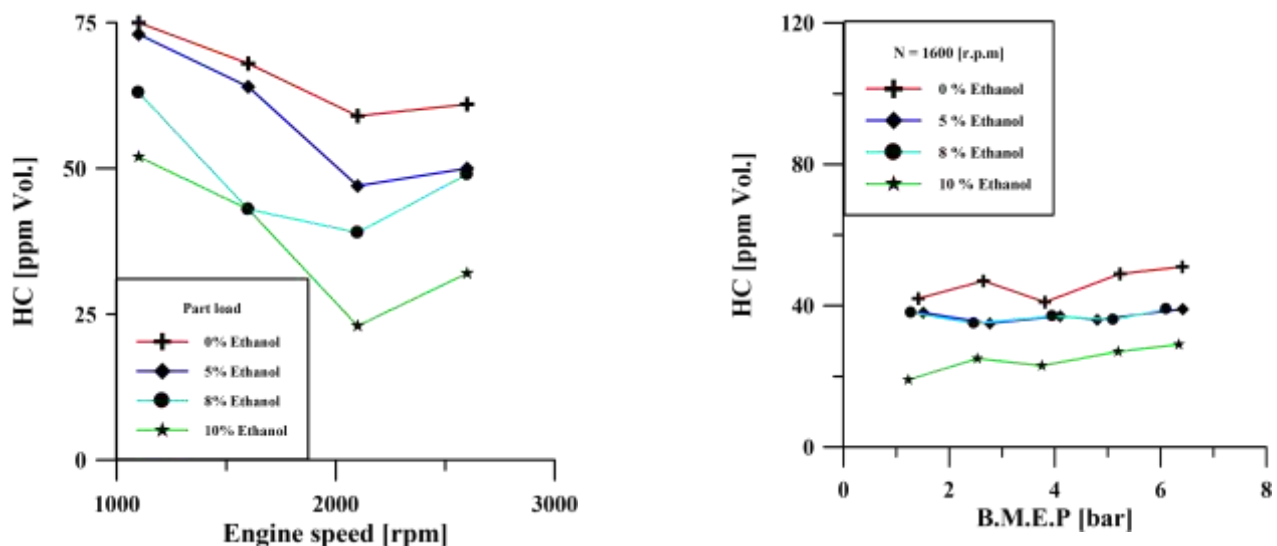


الشكل (16): يوضح تأثير سرعة المحرك على انبعاث اوكسيد النيتروجين

الشكل (15): يوضح تأثير الحمل على انبعاث اوكسيد النيتروجين

3.5.3. انبعاثات الهيدروكربونات (HC)

انبعاثات HC لأنواع مختلفة مناسب مزيج الوقود عند احمال مختلفة موضحة في الشكل (17). فقد انخفضت انبعاثات HC عند كل نسب مزيج وقود الديزل والأيثanol وخصوصاً عند النسبة E10% مماعند E5% وE8% وفي كل ظروف التشغيل، بسبب كون الأيثanol وقود مؤكسد اي يحتوي على الأوكسجين حسب تركيبه الكيميائي مما يسمح باحتراق تام للمزيج مع بقاء نسبة قليلة من انبعاث HC نتيجة الاحتراق الغير تام المتبقى. لذلك فان اي زيادة في نسبة الأيثanol في المزيج سيعطي نتيجة ايجابية وذلك بتقليل من انبعاث HC. كما ان عدم تجانس مزيج الوقود قد يسهم أيضاً في ان يكون هناك خليط فقير في بعض المناطق من غرفة الاحتراق وتكون النتائج مزيد من الوقود الغير المحترق في عملية الاحتراق. وما يعزز أكسدة المواد الهيدروكربونية مع تراكم الإيثanol والتي تسبب ارتفاع درجة حرارة الاسطوانة خاصة في الاحمال العالية. نتيجة لهذا الارتفاع في درجة الحرارة يصبح من الأسهل تفاعل الوقود مع O₂. هذا سيؤدي إلى انخفاض في وقت الاحتراق الذي يؤدي بدوره إلى زيادة في درجة حرارة الاحتراق وبالتالي الحصول على احتراق تام. ويوضح الشكل (18) انبعاثات (HC) الناتجة هنا من محرك الديزل عندما تتغير السرعة من 800 دورات في الدقيقة إلى 2600 دورات في الدقيقة وعند حمل ثابت، حيث يلاحظ نقصان في انبعاث HC عند السرعات الواطئة والمتوسطة ولكنها تزداد عند السرعات العالية بسبب تزايد امكانية حدوث احتراق غير تام نتيجة الأضطراب الحاصل في غرفة الاحتراق عند زيادة السرعة وظهور تأثير الطبقات المتاخمة كلها مجتمعة تؤدي إلى نقصان في الأكسدة عند درجات حرارة واطئة ناتجة من زيادة نسبة الأيثanol في الخليط والذي سيقوم بسحب الحرارة من غرفة الاحتراق لغرض التبخر. وتقل انبعاثات الهيدروكربونات كلما ارتفعت نسبة الإيثanol في مزيج وقود الديزل والإيثanol^[9].



الشكل (18): يوضح تأثير سرعة المحرك على انبعاث الهيدروكاربونات (HC)

الشكل (17): يوضح تأثير الحمل على انبعاث الهيدروكاربونات (HC)

6.3. تأثير محتوى الأيثanol في قيمة الضغط داخل الاسطوانة

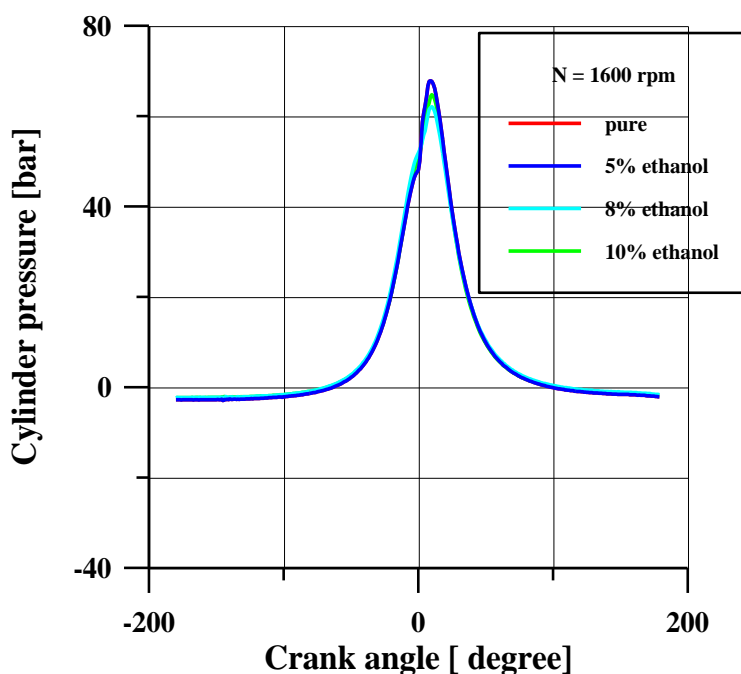
لمعرفة اثر ضغط الاسطوانة على مديات الحرارة المنقلة عند نسب مختلفة لخلبي الوقود فقد تم رسم هذه العلاقة مع زاوية عمود المرفق (CA) كما مبين في الشكل(19). وبين هذا الشكل أن الزيادة في نسبة الأيثanol يؤدي إلى انخفاض في الضغوط داخل الاسطوانة عند النقطة الميئنة العليا (TDC)، ويحدث هذا بسبب تبريد التبخر الناتج عن اضافة الأيثanol. بالإضافة الى انه حينما تكون نسبة الأيثanol عالية فانها تؤدي إلى انخفاض النسبة بين الحرارات النوعية (γ) اكثر مما عند النسب القليلة للأيثanol او حتى مما عند وقود الديزل الصافي. كلاهما سبب نقصان الضغط ودرجة الحرارة عند (TDC). من الواضح ان نرى من خلال النتائج أن فترة تاخر الاشتعال (أي الوقت بين

بداية حقن الديزل وبداية ارتفاع الضغط بسبب الاحتراق) يزيد مع زيادة نسبة الإيثanol بسبب تأثير التبريد الذي يحدثه الإيثanol.

كما هو متوقع فإن أقصى كمية حرارة منتقلة تزداد مع زيادة نسبة الإيثanol في المزيج . بالإضافة إلى زيادة فترة تأخير الإشعال نتيجة تأثيرات البرودة ، فإن الغاز الداخل من خلال رشاش الوقود سيكون خليط الإيثanol/ الهواء القادر من الخارج وظروفة هي الظروف الجوية لهذا سيكون تركيز الأوكسجين أقل مما لو كان هواء مضغوط لوحده. هذا التخفيف للغاز (تركيز قليل للأوكسجين) يؤدي أيضا إلى تأخير الإشعال الذي يؤدي إلى زيادة الخلط ما قبل الاحتراق وبالتالي الحصول على أعلى طاقة متحركة. كان استثناء عند E10% حيث تم قياس أطول فترة تأخير اشتعال عند هذه النسبة ولكن الحرارة المنتقلة كانت الأدنى بين كل النسب.

على سبيل المثال، في حالة استخدام وقود الديزل التقى كان هناك الضغط الأقصى داخل الاسطوانة أعلى من باقي نسب المزيج الأخرى. كانت عند الحالات (0,5,8,10%) فان الضغط الأقصى داخل الأسطوانة هو (72.495 bar) على التوالي وعند زاوية عمود المرفق هي: (67.81, 64.746, 62.076 bar) بعد النقطة المئية العليا.

من الواضح أنه لو تم استبدال أكبر نسبة من وقود الديزل بالإيثanol، فإنه ستزيد من فترة تأخير الاشتعال وسينخفض الضغط الأقصى داخل الاسطوانة تبعاً لذلك. ويعتقد أن الزيادة في فترة تأخير الاشتعال يعود إلى سببين رئيسيين. أولاً، يتم تقليل كمية وقود الديزل المرشوش، وبالتالي تقليل زخم تكسير كفوء لمزيج الوقود مما يؤدي إلى الاشتعال. ثانياً، فإنه من الصعب حدوث الاشتعال عندما تزيد كمية الإيثanol بسبب مقاومة الإيثanol العالية لحصول الاشتعال الذاتي. في حالة نسبة وقود الإيثanol (على سبيل المثال 90% وقود الديزل ونسبة 10% إيثanol)، فإن ضغط الاسطوانة سيكون ضغط منخفض نسبياً. ومع ذلك، فإن ضغط التمدد هو ضغط عالي بشكل ملحوظ عند استخدام وقود الديزل الصافي أي (100%) وقود ديزل.



الشكل (19): يوضح تأثير علاقه ضغط الاسطوانة مع زاوية عمود المرفق عند استخدام نسب مختلفة من مزيج وقود الديزل والإيثanol

4. الاستنتاجات

من خلال النتائج العملية للتجارب التي اجريت للتعرف على تأثير اشتغال محرك ديزل احادي الاسطوانة ذو حقن مباشر عند تشغيله بالنسبة الثلاثة من مزيج وقود الديزل والإيثanol ومقارنته مع تشغيله عن استخدام وقود الديزل. حيث تبين ومن خلال النتائج العملية مدى فاعلية هذا المنتوج في الحد من تلوث البيئة وبالاخص الغازات التي تم التركيز عليها في هذه الدراسة والتي تعتبر من اكبر الغازات الناتجة من عادم السيارات خطورة على البيئة

برمتها بالإضافة إلى كونه من مصادر الوقود البديلة والتي يمكن إنتاجها صناعياً دون الاعتماد التام على النفط وما يسببه من مشاكل اقتصادية وبيئية للبلد. وكانت النتائج الرئيسية من هذه الدراسة هي:

- مع زيادة نسبة الإيثانول في مزيج وقود дизيل والإيثانول سجل هناك ارتفاع في الاستهلاك النوعي الفرملي للوقود ونقصان في القدرةين البيانية والفرملية ونقصان في الكفاءة الحرارية ودرجة حرارة العادم ولكن عند الأحمال العالية يبدأ الاختلاف بالنقصان شيئاً فشيئاً مابين منحنيات وقود дизيل وبين مزيج дизيل / الإيثانول.
- عند زيادة نسبة الإيثانول في مزيج وقود الإيثانول والديزل المستخدم تبين انخفاض في انبعاث غاز أكسيد النيتروجين مع زيادة نسبة الطاقة الإيثانول ويزداد النقصان كلما زادت السرعة. كما ان انبعاثات CO و HC تقل أيضاً عند زيادة نسبة الإيثانول في مزيج وقود дизيل والإيثانول.

الملحق (A) ^[10]:

العلاقات الرياضية المستخدمة في الحسابات:

1. معدل استهلاك الوقود : [kg/hr]

$$\dot{m}_f = \frac{\rho_f * V_f * 10^{-6} * 3600}{t} \quad [\text{kg/hr}]$$

حيث ان:

\dot{m} = معدل استهلاك الوقود [kg/hr]

ρ_f = كثافة الوقود [kg/m^3]

V_f = حجم الوقود المستهلك [m^3]

t = الزمن [s]

2. القدرة الفرمالية : [kW]

$$bp = \frac{2 * \pi * N * T}{60 * 1000}$$

حيث ان:

N = سرعة المحرك الدورانية [rpm]

T = عزم المحرك [N.m]

3. الاستهلاك النوعي الفرملي للوقود : [kg/kW.hr]

$$b.s.f.c = \frac{\dot{m}_f}{bp} * 3600$$

4. الكفاءة الحرارية البيانية [%]:

$$\eta_{ith} = \frac{IP}{\dot{m}_f * LCV} * 100\%$$

حيث ان:

IP = القدرة البيانية [kW]

LCV = القيمة الحرارية للوقود [kJ/kg]

5. المصادر

1. Stone, R. (1992). "Introduction to internal combustion engines".2nd ed., Mac Millian Publishers, Ltd, 1985.
2. الشمري، محمد عبد الرضا،(2005). "محركات дизيل". الطبعة الأولى، دار صفاء للنشر والتوزيع،عمان.
3. Nadir Yilmaz (2012). Comparative analysis of biodiesel ethanol diesel and Biodiesel methanol diesel blends in a diesel engine. Energy, Vol. 40, pp. 210-213.
4. Fathollah OMMI, Kouros NEKOFAR, Vahid PIROZFAR (2009). Emission and propereties characteristics using additive-ethanol-diesel fuel blends on a diesel engine . Annals of the faculty of engineering hunedora –journal of engineering. Tome VII . Fascicule 2 (ISSN 1584 – 2665).
5. Bang-Quan Hea, Shi-Jin Shuaia, Jian-Xin Wanga, Hong Heb (2003). The effect of ethanol blended diesel fuels on emissions from a diesel engine. Atmospheric Environment , Vol. 37, pp. 4965–4971.
6. Alan C. Hansen a, Qin Zhang a, Peter W.L. Lyne b. (2005) . Ethanol–diesel fuel blends-a review. Bioresource Technology, Vol. 96, pp. 277–285.
7. Rashi Koul (2015). Performance characteristics of a single cylinder diesel engine fuelled with1-octanol diesel blends. International Journal of Latest Trends in Engineering and Technology, Vol. 5 Issue 1.
8. Krzysztof Gorski1, Ruslans Smigins (2011). Impact of ether-ethanol and biodiesel blends on combustion process of compression ignition engine. Engineering for rural development Jelgava, Vol.5, pp. 26.-27.
9. H.U.Mughal, M.M.A.Bhutta, M.Athar, E.M.Shahid And M.S.Ehsan, (2012) . The alternative fuels for four stroke compression ignition engines performance analysis. UST, Transactions of Mechanical Engineering, Vol. 36, No. M2, pp 155 – 164.
10. A.J.Martyr&M.A.Plint (2007)." Engine testing theory and practice".3rd ed., Elsevier LTD publishers.